

LEGENDA

UNITÀ IDROGEOLOGICHE

- DEFOSITI A PERMEABILITÀ BASSA
Complesso caratterizzato da coefficiente di permeabilità k trascurabile.
- DEFOSITI A PERMEABILITÀ VARIABILE
Complesso sabbioso siliceo-argilloso che presenta caratteri di permeabilità estremamente vari. Coefficiente di permeabilità k variabile tra $6 \cdot 10^{-4}$ e $1.5 \cdot 10^{-6}$ m/s.
- ROCCHE A PERMEABILITÀ MEDIO-ALTA
Rocce caratterizzate da potenziale di circolazione idrica per fessurazione e carsismo. Coefficiente di permeabilità k da medio ad alto.

SIMBOLOGIA PLANIMETRIA

- Cono d'isopega
- Contorno stratigrafico (a tratteggio deestri)
- Asse linea F.S. Barletta-Canosà

SIMBOLOGIA PROFILO

- Livello falda interpenetrato
- Piano di campagna
- Limiti stratigrafici (a tratteggio i limiti deestri)
- Contorno erosivo (a tratteggio deestri)
- Foglio (a tratteggio deestri)
- Sondaggi
- Livello di falda

INDAGINI GEOGNOSTICHE

Indagini Italferr 2020 - sondaggi e geofisica

- Prova sismica tipo M.A.S.W. 1D + HVSR
- Prova sismica tipo M.A.S.W. 2D
- Tomografia di resistività elettrica (ERT)
- Sondaggio stratigrafico a carotaggio continuo
- Prova pneumatica statica*
- Prova pneumatica dinamica*

Indagini RFI 2020 - sondaggi e geofisica

- Sondaggio stratigrafico a carotaggio continuo
- Prova sismica tipo M.A.S.W. + Ra.M.
- Tomografia di resistività elettrica (ERT)

Indagini Italferr-PRA Barletta 2018

- Prova sismica tipo Masser
- Sismica a rifrazione
- ERT Tomografia Elettrica
- Sondaggio stratigrafico a carotaggio continuo (linea Barletta-Canosà)

Indagini pregresse (ISPR)

- Sondaggio stratigrafico a carotaggio continuo

ELEMENTI DI GEOMORFOLOGIA

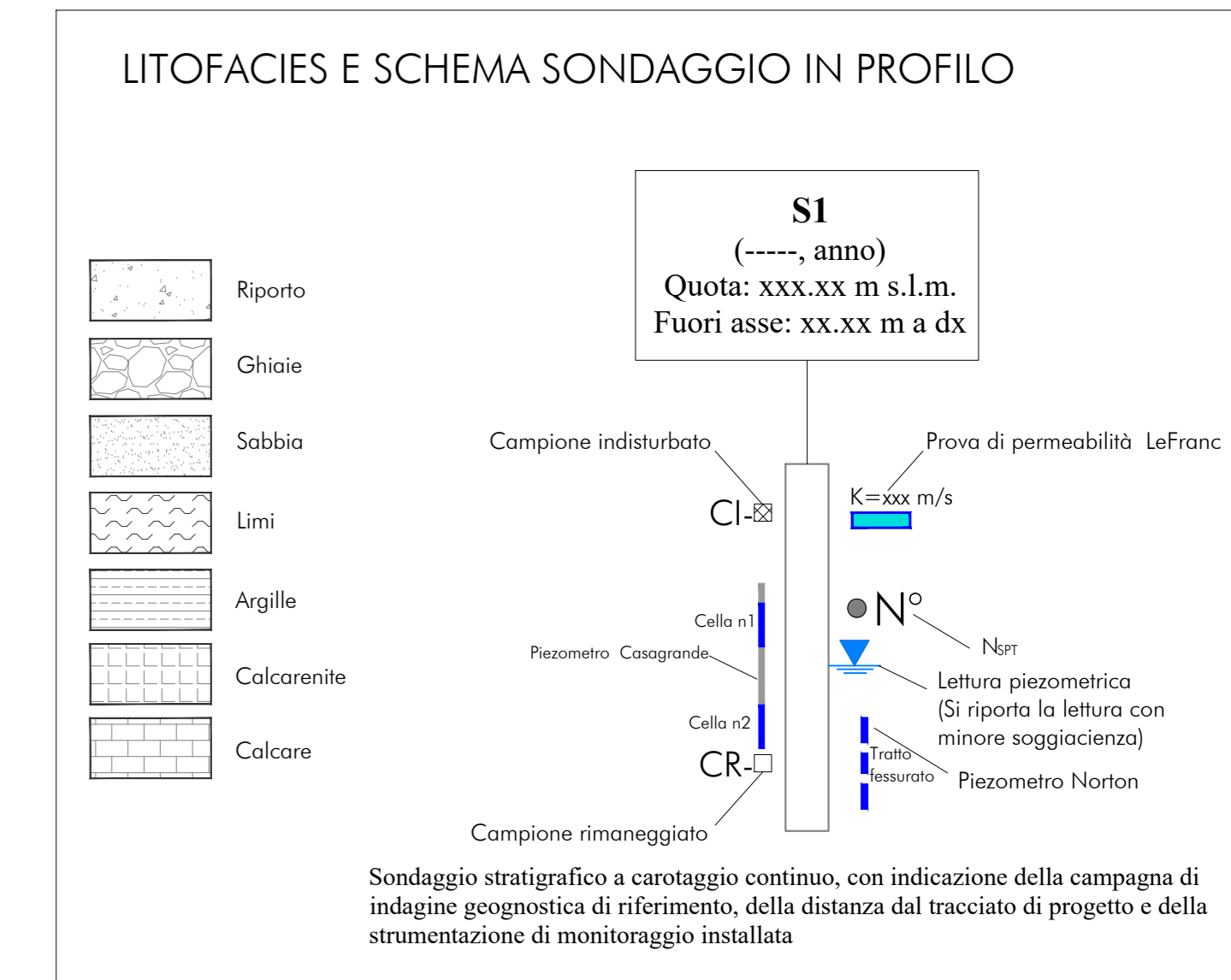
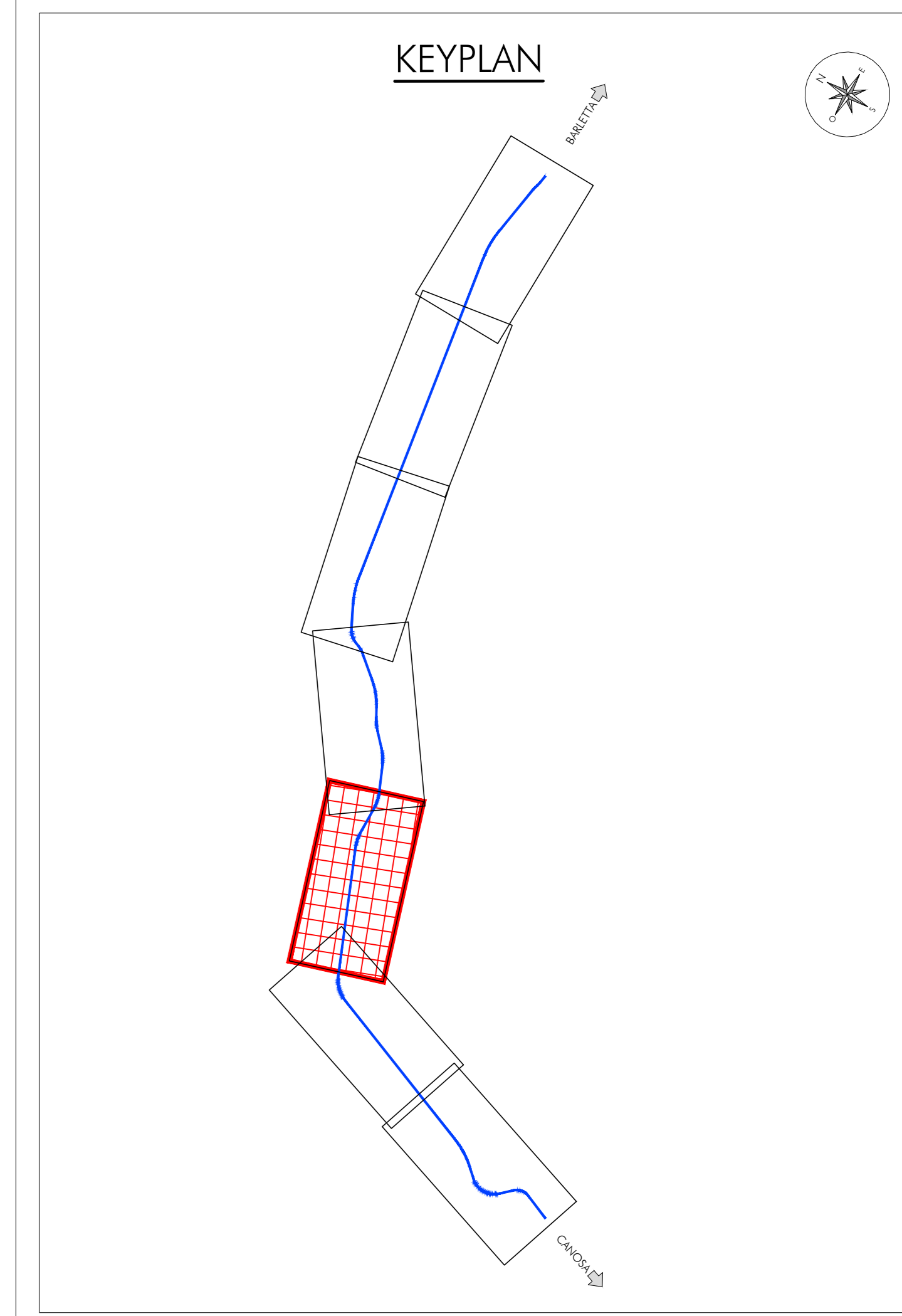
Forme, processi e depositi dovuti alle acque correnti superficiali

- Alveo con erosione laterale o apoda in erosione
- Chiuso di scarpate di erosione fluviale o torrentizia inattiva
- Chiuso di scarpate di erosione fluviale o torrentizia attiva

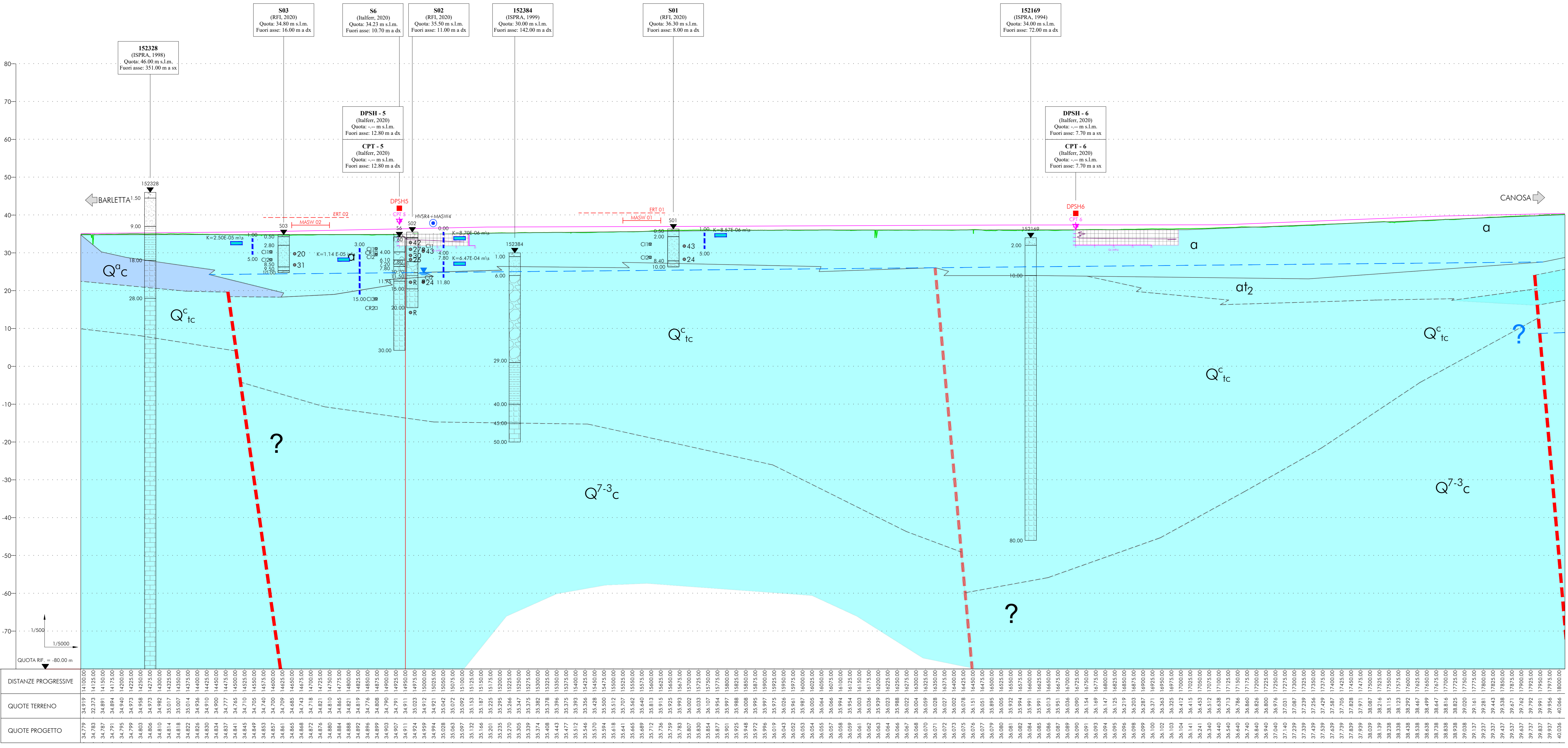
Forme, processi e depositi gravitativi

- Deformazione superficiale lenta attiva

*Nota: per motivi grafici non è stato possibile riportare il grafico delle DPH poiché ricade nelle immediate vicinanze delle prove CPT, pertanto si rimanda all' allegato della Relazione Geologica. La stratigrafia è stata comunque volutamente anche considerando la DPH.



PROFILO IDROGEOLOGICO - 5 di 7
SCALA 1:5000



DISTANZE PROGRESSIVE	QUOTE TERRENO	QUOTE PROGETTO
34.778	34.778	34.778
34.779	34.779	34.779
34.780	34.780	34.780
34.781	34.781	34.781
34.782	34.782	34.782
34.783	34.783	34.783
34.784	34.784	34.784
34.785	34.785	34.785
34.786	34.786	34.786
34.787	34.787	34.787
34.788	34.788	34.788
34.789	34.789	34.789
34.790	34.790	34.790
34.791	34.791	34.791
34.792	34.792	34.792
34.793	34.793	34.793
34.794	34.794	34.794
34.795	34.795	34.795
34.796	34.796	34.796
34.797	34.797	34.797
34.798	34.798	34.798
34.799	34.799	34.799
34.800	34.800	34.800
34.801	34.801	34.801
34.802	34.802	34.802
34.803	34.803	34.803
34.804	34.804	34.804
34.805	34.805	34.805
34.806	34.806	34.806
34.807	34.807	34.807
34.808	34.808	34.808
34.809	34.809	34.809
34.810	34.810	34.810
34.811	34.811	34.811
34.812	34.812	34.812
34.813	34.813	34.813
34.814	34.814	34.814
34.815	34.815	34.815
34.816	34.816	34.816
34.817	34.817	34.817
34.818	34.818	34.818
34.819	34.819	34.819
34.820	34.820	34.820
34.821	34.821	34.821
34.822	34.822	34.822
34.823	34.823	34.823
34.824	34.824	34.824
34.825	34.825	34.825
34.826	34.826	34.826
34.827	34.827	34.827
34.828	34.828	34.828
34.829	34.829	34.829
34.830	34.830	34.830
34.831	34.831	34.831
34.832	34.832	34.832
34.833	34.833	34.833
34.834	34.834	34.834
34.835	34.835	34.835
34.836	34.836	34.836
34.837	34.837	34.837
34.838	34.838	34.838
34.839	34.839	34.839
34.840	34.840	34.840
34.841	34.841	34.841
34.842	34.842	34.842
34.843	34.843	34.843
34.844	34.844	34.844
34.845	34.845	34.845
34.846	34.846	34.846
34.847	34.847	34.847
34.848	34.848	34.848
34.849	34.849	34.849
34.850	34.850	34.850
34.851	34.851	34.851
34.852	34.852	34.852
34.853	34.853	34.853
34.854	34.854	34.854
34.855	34.855	34.855
34.856	34.856	34.856
34.857	34.857	34.857
34.858	34.858	34.858
34.859	34.859	34.859
34.860	34.860	34.860
34.861	34.861	34.861
34.862	34.862	34.862
34.863	34.863	34.863
34.864	34.864	34.864
34.865	34.865	34.865
34.866	34.866	34.866
34.867	34.867	34.867
34.868	34.868	34.868
34.869	34.869	34.869
34.870	34.870	34.870
34.871	34.871	34.871
34.872	34.872	34.872
34.873	34.873	34.873
34.874	34.874	34.874
34.875	34.875	34.875
34.876	34.876	34.876
34.877	34.877	34.877
34.878	34.878	34.878
34.879	34.879	34.879
34.880	34.880	34.880
34.881	34.881	34.881
34.882	34.882	34.882
34.883	34.883	34.883
34.884	34.884	34.884
34.885	34.885	34.885
34.886	34.886	34.886
34.887	34.887	34.887
34.888	34.888	34.888
34.889	34.889	34.889
34.890	34.890	34.890
34.891	34.891	34.891
34.892	34.892	34.892
34.893	34.893	34.893
34.894	34.894	34.894
34.895	34.895	34.895
34.896	34.896	34.896
34.897	34.897	34.897
34.898	34.898	34.898
34.899	34.899	34.899
34.900	34.900	34.900

COMMITTENTE: **RFI RETE FERROVIARIA ITALIANA**
GRUPPO FERROVIE DELLO STATO ITALIANE

PROGETTAZIONE: **ITALFERR**
INGEGNERIA DELLO STATO ITALIANE

U.O. GEOLOGIA TECNICA, DELL'AMBIENTE E DEL TERRITORIO

PROGETTO FATTIBILITA' TECNICA ECONOMICA

POTENZIAMENTO ED ELETTRIFICAZIONE DELLA LINEA BARLETTA - CANOSA DI PUGLIA

Carta dei complessi idrogeologici e profilo idrogeologico - Tav.5 di 7

SCALA: 1:5000

COMMESSA	LOTTO	FASE	ENTE	TIPO DOC.	OPERA/DISCIPLINA	PROGR.	REV.
I A 6 C	0 0	F	6 9	N Z	C E 0 0 0 2	0 0 5	A

Rev.	Descrizione	Redatto	Data	Verificato	Data	Approvato	Data	Autorizzato Data
A	Emissione esecutiva	D. Balacci	Giugno 2020	F. Pignatelli	Giugno 2020	F. Pignatelli	Giugno 2020	M. Corbelli Giugno 2020

File: IAC00FAP1ZGEO02050A n. Etab: 1